

## Caracterização de Coloides do Solo (10 pontos)

A ciência coloidal é útil para caracterizar as partículas do solo porque muitas delas podem ser consideradas como partículas coloidais de tamanho micrométrico. Por exemplo, o movimento browniano (movimento aleatório de partículas coloidais) pode ser utilizado para medir o tamanho das partículas.

### Parte A. Movimentos de partículas coloidais (1,6 pontos)

Analisamos o movimento browniano unidimensional de uma partícula coloidal com massa  $M$ . A equação de movimento para a sua velocidade  $v(t)$  é a seguinte:

$$M\dot{v} = -\gamma v(t) + F(t) + F_{\text{ext}}(t), \quad (1)$$

em que  $\gamma$  é o coeficiente de atrito,  $F(t)$  é uma força devida a colisões aleatórias com moléculas de água, e  $F_{\text{ext}}(t)$  é uma força externa. Na Parte A, assumimos que  $F_{\text{ext}}(t) = 0$ .

- |            |   |       |
|------------|---|-------|
| <b>A.1</b> | Considere que uma molécula de água colide com a partícula em $t = t_0$ , dando impulso $I_0$ , e, a partir de então, $F(t) = 0$ . Se $v(t) = 0$ antes da colisão, $v(t) = v_0 e^{-(t-t_0)/\tau}$ para $t > t_0$ . Determine $v_0$ e $\tau$ , utilizando $I_0$ e os parâmetros necessários na Eq. (1). | 0.8pt |
|------------|---|-------|

A seguir, você pode utilizar  $\tau$  nas suas respostas.

- |            |   |       |
|------------|---|-------|
| <b>A.2</b> | Na verdade, as moléculas de água, uma após a outra, colidem sucessivamente com a partícula. Suponha que a $i$ -ésima colisão dá um impulso $I_i$ no instante $t_i$ e determine $v(t)$ na condição em que $t > 0$ e $v(0) = 0$ . Apresente também a desigualdade que especifica o intervalo de $t_i$ que deve ser considerado para um dado $t$ . Na folha de respostas, não é necessário especificar este intervalo na expressão para $v(t)$ . | 0.8pt |
|------------|---|-------|

### Parte B. Equação de movimento efetiva (1,8 pontos)

Os resultados obtidos até agora implicam que as velocidades das partículas  $v(t)$  e  $v(t')$  podem ser consideradas como quantidades aleatórias não correlacionadas se  $|t - t'| \gg \tau$ . Sendo assim, introduzimos um modelo teórico para descrever aproximadamente o movimento browniano unidimensional, onde a velocidade muda aleatoriamente em cada intervalo de tempo  $\delta$  ( $\gg \tau$ ), ou seja,

$$v(t) = v_n \quad (t_{n-1} < t \leq t_n), \quad (2)$$

com  $t_n = n\delta$  ( $n = 0, 1, 2, \dots$ ) e uma quantidade aleatória  $v_n$ , que satisfaz

$$\langle v_n \rangle = 0, \quad \langle v_n v_m \rangle = \begin{cases} C & (n = m), \\ 0 & (n \neq m), \end{cases} \quad (3)$$

com um parâmetro  $C$  que depende de  $\delta$ . Aqui  $\langle X \rangle$  indica o valor esperado de  $X$ . Ou seja, se sortear números aleatórios  $X$  infinitas vezes, a média será  $\langle X \rangle$ .

Consideramos agora o deslocamento da partícula  $\Delta x(t) = x(t) - x(0)$  para  $t = N\delta$ , com um número inteiro  $N$ .

- |            |  |       |
|------------|--|-------|
| <b>B.1</b> | Determinar $\langle \Delta x(t) \rangle$ e $\langle \Delta x(t)^2 \rangle$ utilizando $C$ , $\delta$ , e $t$ . | 1.0pt |
|------------|--|-------|

- B.2** A quantidade  $\langle \Delta x(t)^2 \rangle$  é designada por deslocamento quadrático médio (MSD). Ela é uma grandeza observável característica do movimento Browniano, que corresponde ao caso limite  $\delta \rightarrow 0$ . A partir daí, podemos mostrar que  $C \propto \delta^\alpha$  e  $\langle \Delta x(t)^2 \rangle \propto t^\beta$ . Determine os valores de  $\alpha$  e  $\beta$ . 0.8pt

### Parte C. Eletroforese (2,7 pontos)

Agora discutiremos a eletroforese, ou seja, o transporte de partículas carregadas por um campo elétrico. Uma suspensão de partículas coloidais com massa  $M$  e carga  $Q (> 0)$  é colocada num canal estreito com uma seção transversal  $A$  (Fig. 1(a)). Ignoramos a interação entre as partículas, os efeitos da parede, do fluido, dos íons nele contidos e da gravidade.

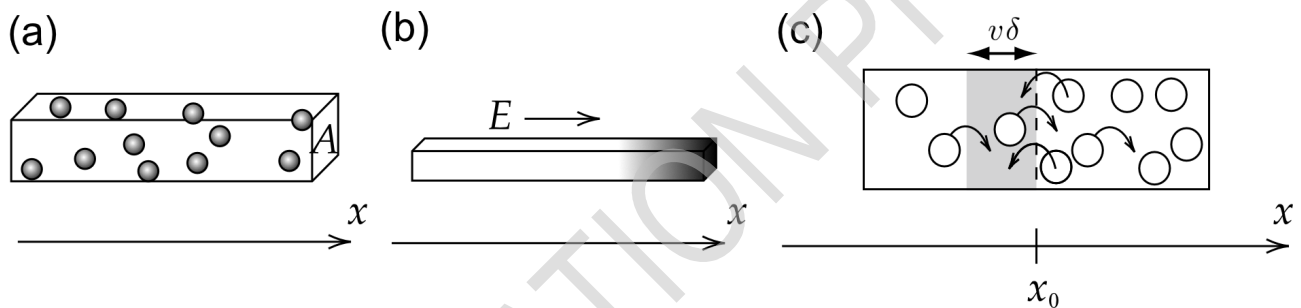


Fig. 1: Configuração para a Parte C.

Ao aplicar um campo elétrico uniforme  $E$  na direção  $x$ , as partículas são transportadas e a sua concentração  $n(x)$  (número de partículas por unidade de volume) torna-se não uniforme (Fig. 1(b)). Quando  $E$  é removido, esta não uniformidade desaparece gradualmente. Este fato deve-se ao movimento browniano das partículas. Se  $n(x)$  não for uniforme, os números de partículas que vão para a direita e para a esquerda podem diferir (Fig. 1(c)). Isto gera um fluxo de partículas  $J_D(x)$ , o número médio de partículas que fluem ao longo do eixo  $x$  na posição  $x$  por unidade de área de seção transversal e unidade de tempo. Sabe-se que este fluxo satisfaz

$$J_D(x) = -D \frac{dn}{dx}(x), \quad (4)$$

onde  $D$  é o coeficiente de difusão.

Agora vamos supor, por simplicidade, que metade das partículas tem velocidade  $+v$  e a outra metade tem velocidade  $-v$ . Seja  $N_+(x_0)$  o número de partículas com velocidade  $+v$  que atravessam  $x_0$  da esquerda para a direita por unidade de área de seção transversal e unidade de tempo. Para que as partículas com velocidade  $+v$  atravessem  $x_0$  no intervalo de tempo  $\delta$  elas devem estar na região sombreada da Fig. 1(c). Como  $\delta$  é pequeno, temos que  $n(x) \simeq n(x_0) + (x - x_0) \frac{dn}{dx}(x_0)$  nesta região.

- C.1** Determine  $N_+(x_0)$  utilizando os parâmetros necessários entre  $v$ ,  $\delta$ ,  $n(x_0)$ , e  $\frac{dn}{dx}(x_0)$ . 0.5pt

Definimos  $N_-(x_0)$  como a contrapartida de  $N_+(x_0)$  para a velocidade  $-v$ . Com isso, temos  $J_D(x_0) = \langle N_+(x_0) - N_-(x_0) \rangle$ . De acordo com a Eq. (3), temos  $\langle v^2 \rangle = C$ .

- C.2** Determine  $J_D(x_0)$  utilizando os parâmetros necessários entre  $C$ ,  $\delta$ ,  $n(x_0)$ , e  $\frac{dn}{dx}(x_0)$ . Utilizando isto e a Eq. (4), determine  $D$  em termos de  $C$  e  $\delta$ , e  $\langle \Delta x(t)^2 \rangle$  em termos de  $D$  e  $t$ . 0.7pt

Discutimos agora o efeito da pressão osmótica  $\Pi$ . Esta é dada por  $\Pi = \frac{n}{N_A}RT = nkT$  com a constante de Avogadro  $N_A$ , a constante dos gases  $R$ , a temperatura  $T$ , e a constante de Boltzmann  $k = \frac{R}{N_A}$ . Consideremos a concentração não uniforme formada sob o campo elétrico  $E$  (Fig. 1(b)). Como  $n(x)$  depende de  $x$ , o mesmo acontece com  $\Pi(x)$ . Assim, as forças devidas a  $\Pi(x)$  e  $\Pi(x + \Delta x)$  devem ser equilibradas com a força total do campo  $E$  que atua sobre as partículas (Fig. 2). Neste caso, consideramos  $\Delta x$  pequeno, de modo que  $n(x)$  pode ser considerado constante neste intervalo, enquanto  $n(x + \Delta x) - n(x) \simeq \Delta x \frac{dn}{dx}(x)$ .

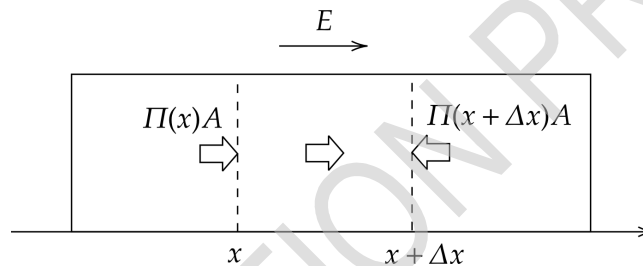


Fig. 2: Equilíbrio de forças.

- C.3** Determine  $\frac{dn}{dx}(x)$  utilizando  $n(x)$ ,  $T$ ,  $Q$ ,  $E$ , e  $k$ . 0.5pt

Vamos agora discutir o equilíbrio do fluxo. Para além do fluxo  $J_D(x)$  devido ao movimento browniano, existe também um fluxo devido ao campo elétrico,  $J_Q(x)$ . Este fluxo é dado por

$$J_Q(x) = n(x)u, \quad (5)$$

onde  $u$  é a velocidade terminal das partículas movidas pelo campo.

- C.4** Para determinar  $u$ , utilizamos a Eq. (1) com  $F_{\text{ext}}(t) = QE$ . Como  $v(t)$  é flutuante, consideramos  $\langle v(t) \rangle$ . Assumindo  $\langle v(0) \rangle = 0$  e utilizando  $\langle F(t) \rangle = 0$ , avaliamos  $\langle v(t) \rangle$  e obtemos  $u = \lim_{t \rightarrow \infty} \langle v(t) \rangle$ . 0.5pt

- C.5** O equilíbrio do fluxo lê-se em  $J_D(x) + J_Q(x) = 0$ . Exprima o coeficiente de difusão  $D$  em termos de  $k$ ,  $\gamma$  e  $T$ . 0.5pt

## Parte D. Deslocamento quadrático médio (2,4 pontos)

Suponhamos que observamos o movimento browniano de uma partícula coloidal esférica isolada, de raio  $a = 5.0 \mu\text{m}$ , em água. A figura 3 mostra o histograma dos deslocamentos  $\Delta x$  medidos na direção  $x$  em cada intervalo  $\Delta t = 60 \text{ s}$ . O coeficiente de atrito é dado por  $\gamma = 6\pi a\eta$  com a viscosidade da água  $\eta = 8.9 \times 10^{-4} \text{ Pa} \cdot \text{s}$  e a temperatura  $T = 25 \text{ }^\circ\text{C}$ .

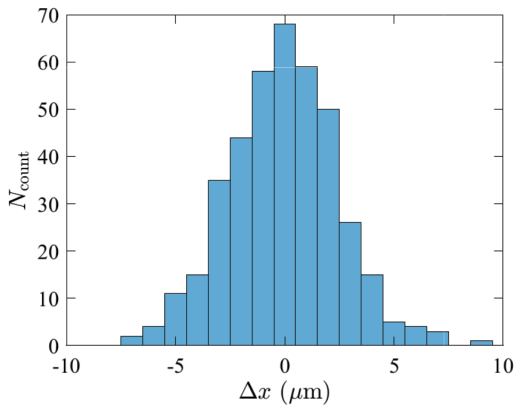


Fig. 3: Histograma de deslocamentos.

- D.1** Estimar o valor de  $N_A$  sem utilizar o fato de ser a constante de Avogadro, até dois algarismos significativos, a partir dos dados da Fig. 3. A constante dos gases é  $R = 8.31 \text{ J/K} \cdot \text{mol}$ . Não utilizar o valor da constante de Boltzmann  $k$  indicado nas Instruções Gerais. Quanto à constante de Avogadro, poderá obter um valor diferente do indicado nas Instruções Gerais. 1.0pt

Agora estendemos o modelo da Parte B para descrever o movimento de uma partícula com carga  $Q$  sob um campo elétrico  $E$ . A velocidade da partícula  $v(t)$  considerada na Eq. (2) deve ser substituída por  $v(t) = u + v_n$  ( $t_{n-1} < t \leq t_n$ ) com  $v_n$  satisfazendo a Eq. (3) e  $u$  sendo a velocidade terminal considerada na Eq. (5).

- D.2** Determine o MSD  $\langle \Delta x(t)^2 \rangle$  em termos de  $u$ ,  $D$ , e  $t$ . Obtenha leis de potência aproximadas para  $t$  pequeno e  $t$  grande, bem como o tempo característico  $t_*$  em que esta mudança ocorre. Esboce um gráfico aproximado do MSD numa escala log-log, indicando a localização aproximada de  $t_*$ . 0.8pt

Em seguida, consideramos micróbios nadadores (Fig. 4(a)), em uma dimensão, para simplificar (Fig. 4(b)). Trata-se de partículas esféricas com raio  $a$ . Elas nadam com velocidade  $+u_0$  ou  $-u_0$ , sendo o sinal escolhido aleatoriamente, sem correlação, em cada intervalo de tempo  $\delta_0$ . O movimento observado é uma combinação de deslocamentos devidos ao nado e de deslocamentos devidos ao movimento browniano de uma partícula esférica.

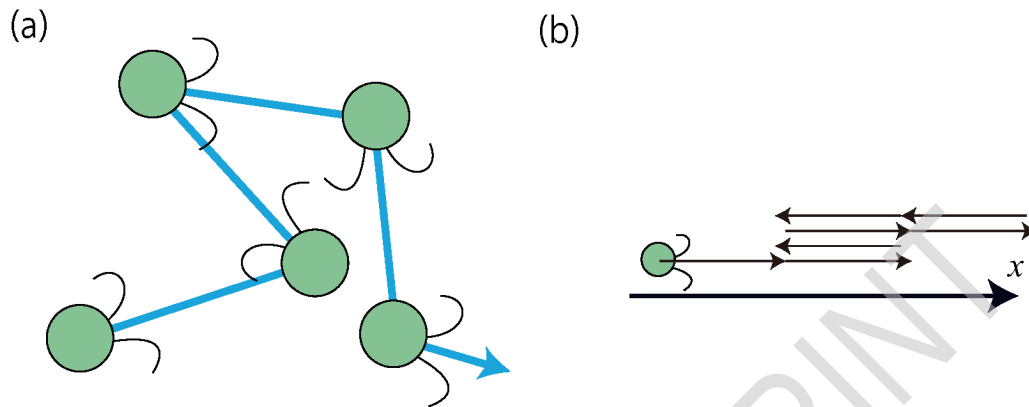


Fig. 4: (a) Movimento dos micróbios. (b) A sua versão unidimensional.

- D.3** A Figura 5 apresenta o MSD  $\langle \Delta x(t)^2 \rangle$  desses micróbios, mostrando diferentes leis de potência para valores de  $t$  pequenos, grandes e intermediários, conforme indicado pelas linhas tracejadas. Obtenha a lei de potência para cada intervalo de tempo e expresse-a utilizando os parâmetros necessários entre  $D$ ,  $u_0$ ,  $\delta_0$ , e  $t$ . 0.6pt

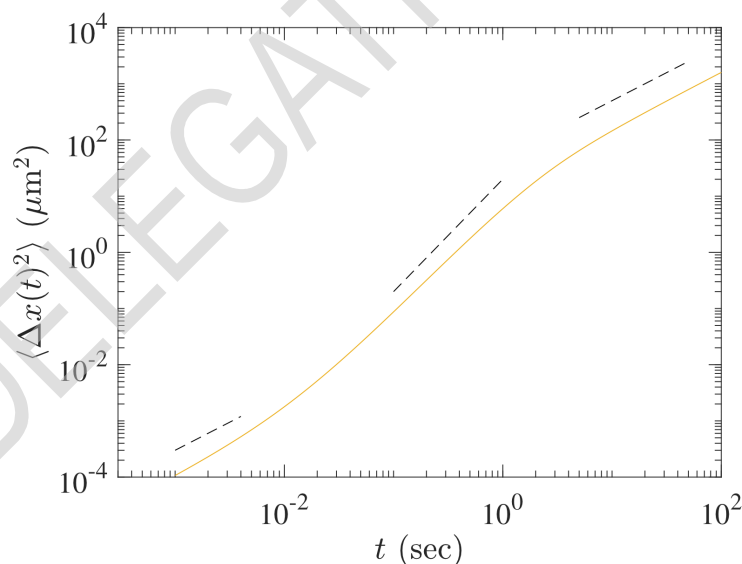


Fig. 5: Deslocamento quadrático médio dos micróbios.

### Parte E. Purificação da água (1,5 pontos)

Agora discutiremos a purificação da água, incluindo partículas de solo semelhantes a colóides, através da adição de eletrólitos para que se coagulem. As partículas interagem através da força de Van der Waals e da força eletrostática, esta última incluindo os efeitos das cargas superficiais e da camada circundante de íons de carga oposta (estes íons e a sua camada são designados por contra-íons e dupla camada elétrica, respetivamente; ver Fig. 6(a)). Como resultado, o potencial de interação para a distância da

partícula  $d$  (Fig. 6(b)) é dado por

$$U(d) = -\frac{A}{d} + \frac{B\epsilon(kT)^2}{q^2} e^{-d/\lambda}, \quad (6)$$

em que  $A$  e  $B$  são constantes positivas,  $\epsilon$  é a constante dielétrica da água e  $\lambda$  é a espessura da dupla camada elétrica. Assumindo que as cargas dos íons são  $\pm q$ , temos

$$\lambda = \sqrt{\frac{\epsilon kT}{2N_A q^2 c}} \quad (7)$$

em que  $c$  é a concentração molar do íon,  $c$ .

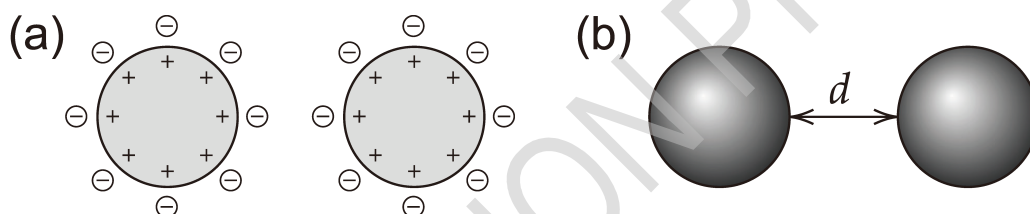


Fig. 6: (a) Cargas superficiais das partículas coloidais e dos contra-íons. (b) Definição da distância  $d$ .

- |            |  |       |
|------------|--|-------|
| <b>E.1</b> | A adição de cloreto de sódio (NaCl) à suspensão provoca a coagulação das partículas coloidais. Determine a menor concentração $c$ de NaCl necessária para a coagulação. É suficiente considerar duas partículas sem flutuações térmicas, ou seja, $F(t) = 0$ na Eq. (1), e assumir que a velocidade terminal para uma dada força conservativa é atingida instantaneamente. | 1.5pt |
|------------|--|-------|

## Estrelas de Nêutrons (10 pontos)

Discutiremos a estabilidade dos núcleos grandes e estimaremos, teórica e experimentalmente, a massa das estrelas de nêutrons.

### Parte A. Massa e estabilidade dos núcleos (2,5 pontos)

A energia de repouso  $m(Z, N)c^2$  de um núcleo constituído por  $Z$  prótons e  $N$  nêutrons é menor do que a soma das energias de repouso dos prótons e nêutrons, a seguir designados por núcleons, pela energia de ligação  $B(Z, N)$ , em que  $c$  é a velocidade da luz no vácuo. Ignorando pequenas correções, podemos aproximar a energia de ligação que contém os seguintes termos: de volume, com  $a_V$ , de superfície, com  $a_S$ , de energia de Coulomb, com  $a_C$ , e de energia de simetria, com  $a_{\text{sym}}$ , da seguinte forma.

$$m(Z, N)c^2 = Am_Nc^2 - B(Z, N), \quad B(Z, N) = a_V A - a_S A^{2/3} - a_C \frac{Z^2}{A^{1/3}} - a_{\text{sym}} \frac{(N - Z)^2}{A}, \quad (1)$$

em que  $A = Z + N$  é o número de massa e  $m_N$  é a massa do núcleon. No cálculo, utilize  $a_V \approx 15.8$  MeV,  $a_S \approx 17.8$  MeV,  $a_C \approx 0.711$  MeV, e  $a_{\text{sym}} \approx 23.7$  MeV (MeV =  $10^6$  elétrons-volt).

**A.1** Sob a condição de  $Z = N$ , determine  $A$  para maximizar a energia de ligação por núcleon,  $B/A$ . 0.9pt

**A.2** Sob a condição de  $A$  fixo, o número atômico  $Z^*$  do núcleo mais estável é determinado pela maximização de  $B(Z, A - Z)$ . Para  $A = 197$ , calcule  $Z^*$  usando a Eq. (1). 0.9pt

**A.3** Um núcleo com grande  $A$  quebra-se em núcleos mais leves através da fissão, de modo a minimizar a energia total da massa de repouso. Para simplificar, consideramos uma das múltiplas maneiras de partir um núcleo com  $(Z, N)$  em dois núcleos iguais, o que ocorre quando a seguinte relação de energia é válida, 0.7pt

$$m(Z, N)c^2 > 2m(Z/2, N/2)c^2,$$

Quando esta relação é escrita como

$$Z^2/A > C_{\text{fission}} \frac{a_S}{a_C},$$

obtenha  $C_{\text{fission}}$  com até dois algarismos significativos.

### Parte B. A estrela de nêutrons como um núcleo gigantesco (1,5 ponto)

Para núcleos grandes com um número de massa suficientemente grande  $A > A_c$  com um limiar  $A_c$ , estes núcleos permanecem estáveis contra a fissão nuclear devido à energia de ligação suficientemente grande devido à gravidade.

- B.1** Assumimos que  $N = A$  e  $Z = 0$  é possível para  $A$  suficientemente grande e a Eq. (1) permanece válida com a adição da energia de ligação gravitacional. A energia de ligação devido à gravidade é 1.5pt

$$B_{\text{grav}} = \frac{3}{5} \frac{GM^2}{R},$$

em que  $M = m_N A$  e  $R = R_0 A^{1/3}$  com  $R_0 \simeq 1.1 \times 10^{-15} \text{ m} = 1.1 \text{ fm}$  correspondem a massa e o raio do núcleo, respectivamente.

Para  $B_{\text{grav}} = a_{\text{grav}} A^{5/3}$ , obter  $a_{\text{grav}}$ , em MeV, até o primeiro algarismo significativo. Em seguida, ignorando o termo de superfície, estime  $A_c$  até o primeiro algarismo significativo. No cálculo, utilize  $m_N c^2 \simeq 939 \text{ MeV}$  e  $G = \hbar c / M_P^2$ , em que  $M_P c^2 \simeq 1.22 \times 10^{22} \text{ MeV}$  e  $\hbar c \simeq 197 \text{ MeV} \cdot \text{fm}$ .

### Parte C. Estrela de nêutrons em um sistema binário (6,0 pontos)

Algumas estrelas de nêutrons são pulsares que emitem regularmente, a um período constante, ondas eletromagnéticas que chamamos "luz", para simplificar. As estrelas de nêutrons formam frequentemente sistemas binários com anãs brancas. Consideremos a configuração estelar mostrada na Fig. 1, em que um pulso de luz emitido por uma estrela de nêutrons **N** para a Terra **E** passa perto de uma anã branca **W** do sistema binário. A medição destes pulsos influenciados pela gravidade da estrela permite estimar com exatidão a massa de **W**, como se explica a seguir, o que resulta na estimativa da massa de **N**.

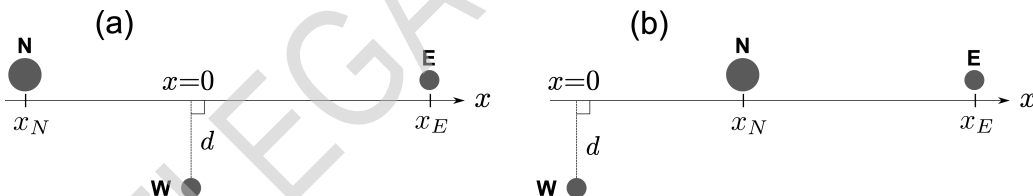
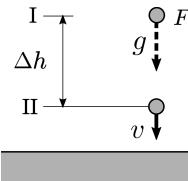


Fig. 1: Configurações com o eixo  $x$  ao longo da linha que liga **N** e **E**. (a) para  $x_N < 0$  e (b) para  $x_N > 0$ .



- C.1** Como mostra a figura abaixo, sob a aceleração gravitacional constante  $g$ , colocamos dois níveis I e II com a diferença de altura  $\Delta h (> 0)$ . Coloque relógios idênticos em I, II e  $F$ , o sistema em queda livre, designados por relógio-I, relógio-II e relógio- $F$ , respectivamente. 1.0pt



Montagem do experimento mental.

Assumimos que um observador se senta com o relógio- $F$ , e inicialmente  $F$ , com velocidade nula, é colocado à mesma altura que o relógio-I. Como os relógios são idênticos, registram intervalos de tempo iguais,  $\Delta\tau_F = \Delta\tau_I$ . Em seguida, deixamos  $F$  cair livremente e trabalhamos no referencial de  $F$ , que é considerado inercial. Neste referencial, o relógio-II passa pelo relógio- $F$  com velocidade  $v$ , de modo que a dilatação do tempo do relógio-II pode ser determinada pela transformação de Lorentz. Quando o tempo  $\Delta\tau_I$  passa no relógio- $F$ , o tempo  $\Delta\tau_{II}$  passa no relógio-II. Determine  $\Delta\tau_{II}$  em termos de  $\Delta\tau_I$  até a primeira ordem em  $\Delta\phi/c^2$ , em que  $\Delta\phi = g\Delta h$  é uma diferença de potencial gravitacional, isto é, a energia potencial gravitacional por unidade de massa.

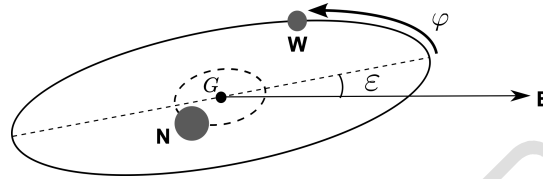
- C.2** Sob o potencial gravitacional  $\phi$ , os atrasos temporais alteram a velocidade efetiva da luz,  $c_{\text{eff}}$ , observada no infinito, embora a velocidade local da luz seja  $c$ . Quando  $\phi(r = \infty) = 0$ ,  $c_{\text{eff}}$  pode ser dado até a primeira ordem em  $\phi/c^2$  como 1.8pt

$$c_{\text{eff}} \approx \left(1 + \frac{2\phi}{c^2}\right) c$$

incluindo o efeito de distorção do espaço, que não foi apresentado em **C.1**. Note que a trajetória da luz pode ser aproximada como uma linha reta. Como mostrado na Fig. 1(a), tomamos o eixo  $x$  ao longo da trajetória da luz desde a estrela de nêutrons **N** até à Terra **E** e colocamos  $x = 0$  no ponto em que a anã branca **W** está mais próxima da trajetória da luz. Seja  $x_N (< 0)$  a coordenada  $x$  de **N**,  $x_E (> 0)$  a de **E** e  $d$  a distância entre **W** e a trajetória da luz. Estime as alterações do tempo de chegada  $\Delta t$  da luz de **N** para **E** causadas pela anã branca com massa  $M_{\text{WD}}$  e avalie a resposta de forma simples, desprezando termos de ordem superior das seguintes pequenas quantidades:  $d/|x_N| \ll 1$ ,  $d/x_E \ll 1$ , e  $GM_{\text{WD}}/(c^2 d) \ll 1$ . Se necessário, use a seguinte fórmula.

$$\int \frac{dx}{\sqrt{x^2 + d^2}} = \frac{1}{2} \log \left( \frac{\sqrt{x^2 + d^2} + x}{\sqrt{x^2 + d^2} - x} \right) + C. \quad (\log \text{ é o logaritmo natural})$$

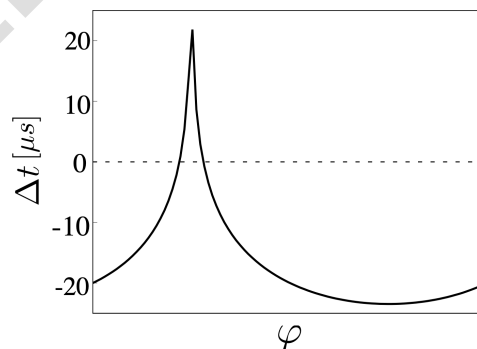
- C.3** Como mostrado abaixo, em um sistema estelar binário, supõe-se que **N** e **W** se movem em órbitas circulares com excentricidade zero em torno do centro de massa  $G$  no plano de órbita. Sejam  $\varepsilon$  o ângulo de inclinação orbital medido desde o plano de órbita até a linha dirigida de  $G$  para **E**,  $L$  o comprimento entre **N** e **W**, e  $M_{\text{WD}}$  a massa da anã branca. No que se segue, assumimos  $\varepsilon \ll 1$ . 1.8pt



Sistema estelar binário.

Observamos pulsos luminosos emitidos por **N** em **E**, longe de **N**. O percurso da luz até **E** varia com o tempo, dependendo da configuração de **N** e **W**. O atraso no intervalo de tempo de chegada dos pulsos a **E** tem o valor máximo  $\Delta t_{\text{max}}$  para  $x_N \simeq -L$  e o valor mínimo  $\Delta t_{\text{min}}$  para  $x_N \simeq L$  (ver Fig. 1(b) para a configuração). Calcule  $\Delta t_{\text{max}} - \Delta t_{\text{min}}$  de uma forma simples, desprezando os termos de ordem superior de pequenas quantidades, como se fez em **C.2**. Note que se supõe que os atrasos devidos à gravidade de objetos estelares que não **W** se anulam em  $\Delta t_{\text{max}} - \Delta t_{\text{min}}$ .

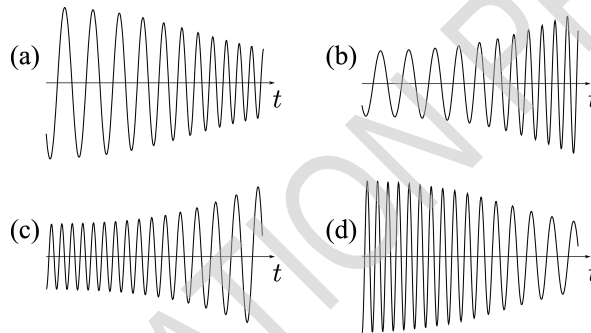
- C.4** A figura abaixo mostra os atrasos observados em função da fase orbital  $\varphi$  para o sistema estelar binário com  $L \approx 6 \times 10^6$  km e  $\cos \varepsilon \approx 0.99989$ . Estime  $M_{\text{WD}}$  em termos da massa solar  $M_{\odot}$  e apresente os resultados para  $M_{\text{WD}}/M_{\odot}$  até o primeiro algarismo significativo. Aqui a relação aproximada  $GM_{\odot}/c^3 \approx 5 \mu\text{s}$  pode ser usada. 0.8pt



Atrasos de tempo observados  $\Delta t$  em função da fase orbital  $\varphi$  (veja a figura em **C.3**) para localizar **N** e **W** nas órbitas.

- C.5** No sistema binário de estrelas de nêutrons, duas estrelas liberam energia e momento angular através da emissão de ondas gravitacionais e eventualmente se fundem após uma colisão. Por simplicidade, considere apenas um movimento circular com o raio  $R$  e a velocidade angular  $\omega$  e, com isso,  $\omega = \chi R^p$  é respeitada com a constante  $\chi$  que não depende nem de  $\omega$  nem de  $R$ , se os efeitos relativísticos forem ignorados. Determine o valor de  $p$ . 0.4pt

- C.6** A amplitude da onda gravitacional emitida pelo sistema binário em **C.5** é proporcional a  $R^2\omega^2$ . A figura abaixo mostra qualitativamente quatro perfis temporais diferentes das ondas gravitacionais observadas antes da colisão de duas estrelas. Identifique o perfil mais adequado de (a) a (d). 0.2pt



Perfis de dados observados de ondas gravitacionais.

## Água e Objetos (10 pt)

Neste problema, nós consideraremos os fenômenos causados pela interação entre água e objetos, relacionados à tensão superficial. A parte **A** trata de dinâmica, enquanto as partes **B** e **C** tratam de estática.

Se necessário, você pode utilizar o fato de que se a função  $y(x)$  satisfaz a equação diferencial  $y''(x) = ay(x)$  (sendo  $a$  uma constante positiva), então a sua solução geral é  $y(x) = Ae^{\sqrt{a}x} + Be^{-\sqrt{a}x}$ , onde  $A$  e  $B$  são constantes arbitrárias.

### Parte A. Aglutinação de gotas de água (2,0 pontos)

Como ilustrado na Fig. 1, considere duas gotas de água esféricas e estacionárias na superfície de um material superhidrofóbico, isto é, há intensas forças repulsivas entre a água e o material.

Inicialmente, duas gotas idênticas de água esféricas são colocadas na superfície. Em seguida, após se tocarem, estas duas gotas se aglutinam e formam uma gota de água esférica maior, que salta subitamente para cima.

- A.1** O raio  $a$  de ambas as gotas de água antes de se aglutinarem é igual a  $100 \mu\text{m}$ . A densidade da água  $\rho$  é igual a  $1.00 \times 10^3 \text{ kg/m}^3$ . A tensão superficial  $\gamma$  é igual a  $7.27 \times 10^{-2} \text{ J/m}^2$ . Uma porção  $k$  da diferença entre as energias de superfície antes e depois da aglutinação,  $\Delta E$ , é transformada em energia cinética da gota de água que saltou. Determine a velocidade inicial de salto,  $v$ , da gota de água resultante, com dois algarismos significativos, sob as seguintes hipóteses:
- $k = 0.06$
  - Antes e depois de se aglutinarem, o volume total de água é conservado.
- 2.0pt

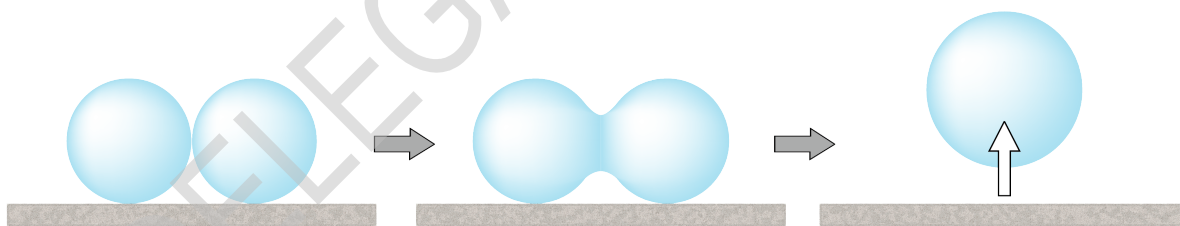


Fig. 1: Aglutinação de duas gotas de água e salto da gota de água resultante.

### Parte B. Uma placa imersa verticalmente (4,5 pontos)

Uma placa plana é imersa verticalmente em água. As figuras 2(a) e 2(b) mostram, respectivamente, as formas que a superfície da água assume para placas de materiais hidrofílicos (atrativos) e hidrofóbicos. Desconsidere a espessura da placa.

A superfície da placa está no plano  $yz$  e a superfície horizontal da água, longe da placa, está no plano  $xy$ , com  $z = 0$ . A forma da superfície da água não depende da coordenada  $y$ . Seja  $\theta(x)$  o ângulo entre a superfície da água e o plano horizontal num ponto  $(x, z)$  da superfície da água no plano  $xz$ . Aqui  $\theta(x)$  é medido em relação ao eixo positivo  $x$  e a rotação no sentido anti-horário é considerada positiva. Seja  $\theta_0$  o valor de  $\theta(x)$  no ponto de contato entre a placa e a superfície da água ( $x = 0$ ). A seguir,  $\theta_0$  é fixado pelas propriedades do material da placa.

A densidade da água  $\rho$  é constante e a tensão superficial da água  $\gamma$  é uniforme. A constante de aceleração gravitacional é dada por  $g$ . A pressão atmosférica,  $P_0$ , é assumida como sendo sempre uniforme. Determinaremos a forma da superfície da água nos passos seguintes. Note que a unidade de tensão superficial é  $\text{J/m}^2$  ou, também,  $\text{N/m}$ .

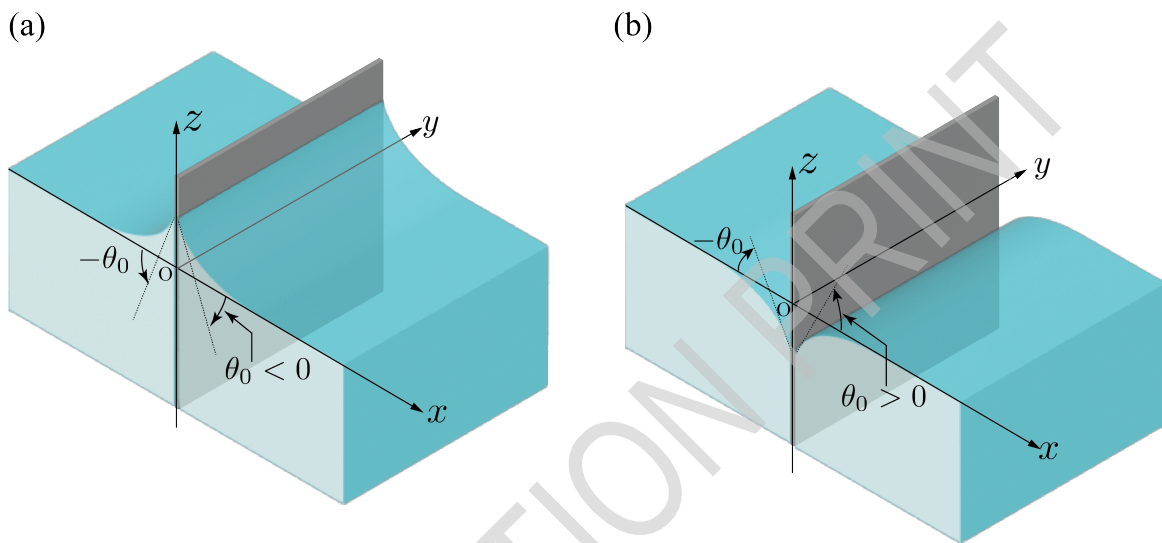


Fig. 2: Placas imersas verticalmente na água. (a) Placa hidrofílica; (b) Placa hidrofóbica.

**B.1** Vamos considerar o caso de placa hidrofílica, como mostra a Fig. 2(a). Observamos que a pressão da água,  $P$ , satisfaz as condições  $P < P_0$  para  $z > 0$  e  $P = P_0$  para  $z = 0$ . Então, determine a pressão  $P$  na coordenada  $z$  em termos de  $\rho$ ,  $g$ ,  $z$ , e  $P_0$ . 0.6pt

**B.2** Vamos considerar um bloco de água cujo recorte é apresentado hachurado na Fig. 3(a). A sua seção transversal no plano  $xz$  é mostrada na área hachurada na Fig. 3(b). Sejam  $z_1$  e  $z_2$ , respectivamente, as coordenadas do lado esquerdo e direito da fronteira entre o bloco de água e o ar (superfície da água). Obtenha  $f_x$ , a componente horizontal (componente  $x$ ) da força resultante por unidade de comprimento ao longo do eixo  $y$  que é exercida no bloco de água devido à pressão, em termos de  $\rho$ ,  $g$ ,  $z_1$ , e  $z_2$ . Note que  $P_0$  não resulta em força horizontal resultante sobre o bloco de água. 0.8pt

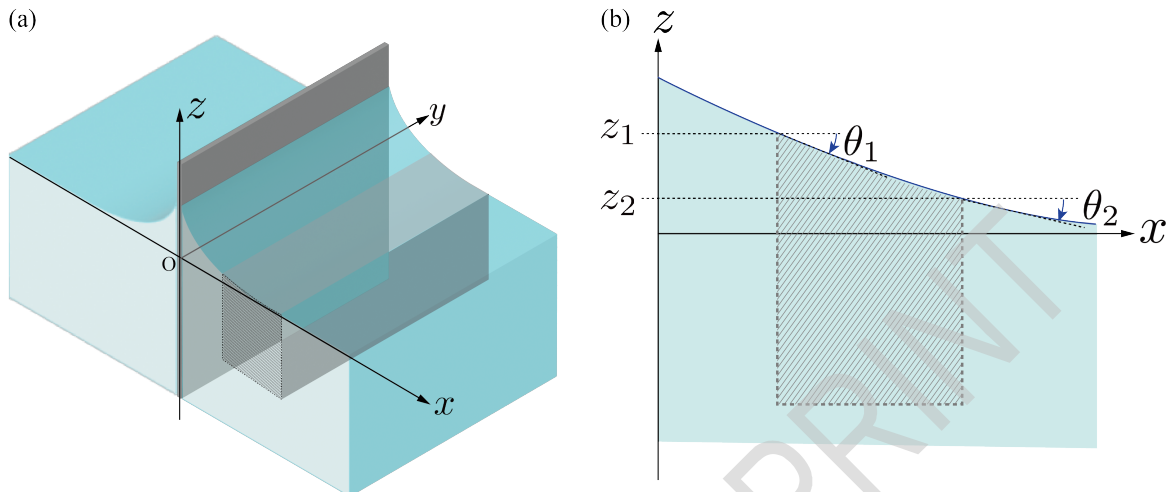


Fig. 3: Recorte de um bloco de água a partir da superfície da água. (a) Vista aérea e (b) vista da secção transversal.

**B.3** A tensão superficial que atua sobre o bloco de água é equilibrada com a força  $f_x$  discutida no item B.2. Definimos, respectivamente,  $\theta_1$  e  $\theta_2$  como os ângulos entre a superfície da água e o plano horizontal nas extremidades esquerda e direita. Expresse  $f_x$  em termos de  $\gamma$ ,  $\theta_1$ , e  $\theta_2$ . 0.8pt

**B.4** A seguinte equação é válida num ponto arbitrário  $(x, z)$  na superfície da água, 0.8pt

$$\frac{1}{2} \left( \frac{z}{\ell} \right)^a + \cos \theta(x) = \text{constant}. \quad (1)$$

Determine o expoente  $a$  e expresse a constante  $\ell$  em termos de  $\gamma$  e  $\rho$ . Note que esta equação é válida independentemente da placa ser hidrofílica ou hidrofóbica.

**B.5** Na Eq. (1) em B.4, podemos assumir que a variação da superfície da água é lenta, isto é,  $|z'(x)| \ll 1$ , de tal forma que podemos expandir  $\cos \theta(x)$  em relação à  $z'(x)$  até à segunda ordem. Depois, diferenciando a equação resultante em relação a  $x$ , obtemos a equação diferencial que  $z(x)$  deve satisfazer. Resolva esta equação diferencial e determine  $z(x)$  para  $x \geq 0$  em termos de  $\tan \theta_0$  e  $\ell$ . Note que as direções verticais nas Figs. 2 e 3 são exageradas para uma melhor visualização e elas não satisfazem a condição  $|z'(x)| \ll 1$ . 1.5pt

### Parte C. Interação entre duas hastes (3,5 pontos)

As hastes idênticas A e B, feitas do mesmo material, flutuando paralelamente na superfície da água, são colocadas à mesma distância do eixo  $y$  (Fig. 4).

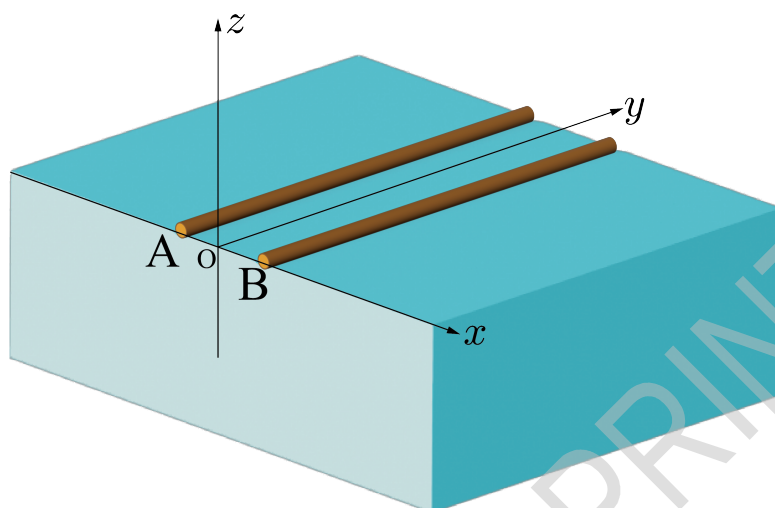


Fig. 4: Duas hastes A e B flutuando na superfície da água.

- C.1** Nos pontos de contato entre a haste B e a superfície da água, definimos as coordenadas no eixo  $z$ ,  $z_a$  e  $z_b$ , e os ângulos  $\theta_a$  e  $\theta_b$ , como mostra a Fig. 5. Determine  $F_x$ , a componente horizontal da força por unidade de comprimento ao longo do eixo  $y$ , na haste B, em termos de  $\theta_a$ ,  $\theta_b$ ,  $z_a$ ,  $z_b$ ,  $\rho$ ,  $g$ , e  $\gamma$ . 1.0pt

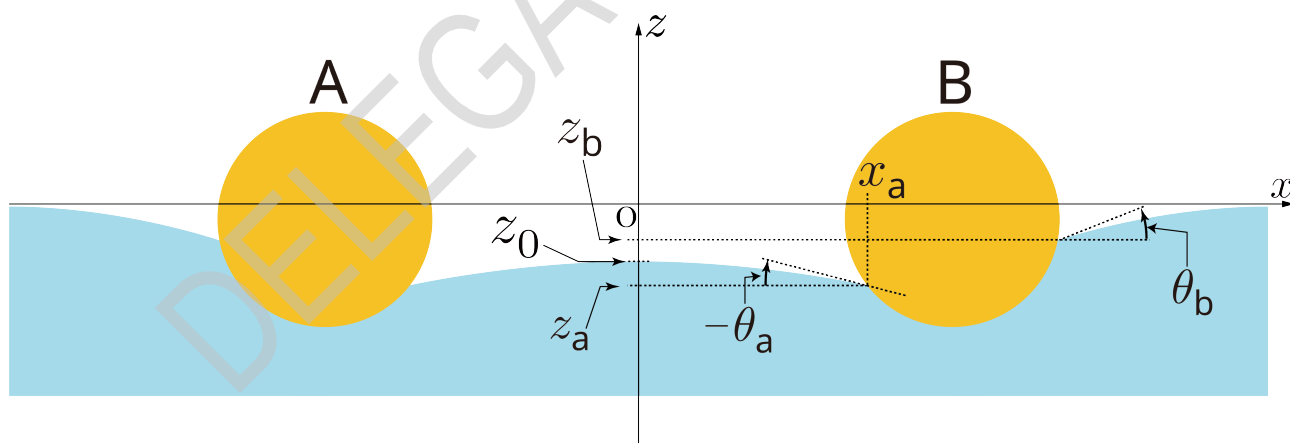


Fig. 5: Secção transversal vertical de duas hastes flutuando na superfície da água.

- C.2** Definimos a coordenada  $z$  da superfície da água,  $z_0$ , no ponto médio de duas hastes no plano  $xz$ . Expresse a força  $F_x$  obtida em C.1 sem usar  $\theta_a$ ,  $\theta_b$ ,  $z_a$  e  $z_b$ . 1.5pt

- C.3** Seja  $x_a$  a coordenada  $x$  do ponto de contato entre a superfície da água e o lado esquerdo da haste B. Utilizando a equação diferencial obtida em B.4, expresse a coordenada do nível da água  $z_0$  do ponto médio destas duas hastes A e B em termos de  $x_a$  e  $z_a$ . Você pode utilizar a constante  $\ell$  introduzida em B.4. 1.0pt